

<論 文>

小型 펀치試驗法에 의한 發電用 蒸氣管의 經年材質劣化 評價에 관한 研究

김정기* · 이종기** · 윤기봉*** · 정세희****

(1991년 6월 3일 접수)

Study on Evaluation by Small Punch Test for Material Degradation of Steam Tubes of Fossile Electric Power Plant

J.K. Kim, J.K. Lee, K.B. Yoon and S.H. Chung

Key Words: Small Punch Test(소형 펀치시험), Material Degradation(재질 열화), Temper Embrittlement(뜨임 취화), DBTT(ductile-brittle transition temperature ; 연취성 천이 온도), FATT(fracture appearance transition temperature ; 파면 천이 온도)

Abstract

Since Cr-Mo steels are used extensively for steam pipes of power plants, the material degradation such as temper embrittlement occurs during service in practical engineering fields. Material degradation is usually detected by an upward shift of the ductile-brittle transition temperature in a notched bar test such as the Charpy V-notch impact test. Since it is not possible to take large size specimens from an operating plant to evaluate the material degradation, nondestructive or semi-destructive techniques involving removal of small size are needed. It was suggested that the small punch test with miniature specimen was originally developed to study irradiation damage effect of nuclear reactor also had an applicability to material degradation detecting technology. It was shown that the SP test would be a useful tool to assess the material degradation in power plants.

1. 서 론

最近火力發電設備等에서 볼 수 있는 것 같이
高溫·高壓下에서 長時間의 運轉履歴를 갖는 設備
가 增加하고 있고, 大部分의 國家에서는 火力發電
이 供給電力의 過半數 以上을 차지하고 있다. 그러나,
이들 高溫·高壓設備의 部材는 375~575°C의

高溫域에서 長時間 使用된 結果 破壞韌性이 顯著하게
低下하는 材質劣化 現象이 問題로 되고 있어,⁽¹⁾
이들 裝置의 安全性에는 極히 危險한 狀況을 招來
할 수도 있음이 알려지고 있다.

따라서, 長時間 使用되고 있는 高溫 設備에 대한
性能과 信賴性의 維持 및 向上의 觀點에서 殘餘壽命
豫測과 關聯된 適當한 設備診斷 技術의 確立은
重要한 課題^(2,3)로 되고 있다. 이를 위하여 從來 非
破壞的인 方法^(4,5)이 摸索되어지고는 있으나, 最終
의인 判斷은 아직도 Charpy V-notch(CVN) 衝擊
試驗과 같은 破壞韌性 試驗에 依存하지 않으면 안
되는 狀態에 있다⁽⁶⁾. 그러나 現場 實機에서 採取되

* 정회원, 전주공업전문대학 기계공학과

** 정회원, 전북산업대학 기계공학과

*** 정회원, 한국표준연구소 역학물성연구실

**** 정회원, 전북대학교 공과대학 정밀기계공학과

는試驗片의 크기와 數量은 制限되고 있어서, 可能한 한 少量의 試驗片으로 破壞非性을 評價할 수 있는 試驗方法의 開發이 要求되어 왔다. 最近 美國과 日本에서 原子爐 壓力容器의 粒子線(中性子等)照射損傷 評價 및 爐壁材料 開發을 위해 整備되고 있는 小型펀치(Small Punch : SP) 試驗法⁽⁷⁾은 現場의 實機로 부터 部材의 強度에 影響을 주지 않을 程度로 작은 領域에서 試驗片 採取가 可能한 長點을 갖고 있기 때문에, 이러한 長點을 應用하여 發電設備나 石油化學設備에 對한 經年材質劣化 評價에 SP 試驗法의 適用 可能성이 檢討되고 있는 段階이다^(8,9).

本研究는 運轉履歷이 다른 보일러 過熱器 및 再熱器에서 採取한 Cr-Mo鋼, 蒸氣管을 對象으로 이 SP 試驗法을 導入하여 SP試驗에 의한 材質劣化의 評價 可能性을 研究 檢討하였다.

2. 試驗片 및 實驗方法

2.1 試驗片

本研究에 使用된 材料는 運轉履歷이 각기 다른 火力發電 設備에서 採取한 Cr-Mo鋼 蒸氣管들로 그 化學成分과 常溫에서의 機械的 性質 및 使用條件은 Table 1, 2, 3과 같다.

材質劣化 程度를 評價하기 위한 從來의 破壞非性評價法에 의한 CVN衝擊試驗片과 SP試驗片을 Fig. 1과 같은 方法으로 蒸氣管의 外表面에 注目하여 採取하였다.

CVN衝擊試驗片은 蒸氣管의 制限된 치수의 사정상 $5 \times 5 \times 55\text{mm}$ 크기로 加工하였고, 노치는 開先角 45° 半徑 0.2mm , 깊이 1mm 로 하였다. SP試驗片은 $\square 10 \times 0.5\text{mm}$ 크기의 平板形으로 하였으며, 特히 試驗片의 兩面중 지그의 下部다이(die)와 接하는 面 즉, 蒸氣管의 外表面은 樹脂研磨紙(#1200까지)로 研磨한 後 粒經 $0.3\mu\text{m}$ 의 alumina 研

磨材로 buff研磨하여 鏡面 狀態를 維持시켰다.

한편, 이들 材料는 新材가 保存되어 있지 않기 때문에, 從來의 方法에 따라 劣化材를 650°C 에서 3.5時間 동안 維持시킨 後 空冷시키는 脫脆化熱處理⁽¹⁰⁾를 行하여 新材로 代置하였다.

2.2 實驗方法

準備된 試驗片은 材質劣化度 評價를 위해 CVN衝擊試驗 및 SP試驗에 提供되었다. CVN衝擊試驗은 容量 $30\text{kg}\cdot\text{m}$ 의 自動 記錄型 衝擊試驗機(instrumental impact testing machine)를 使用하였다. 試驗 測溫範圍는 $-150 \sim +50^\circ\text{C}$ 였고, 試驗은 ASTM E 27-72의 規定에 따라 實施되었다.

SP試驗法은 Fig. 2에서와 같이 微小 試驗片⁽⁷⁾($\square 10 \times 0.25\text{mm}$, $\square 10 \times 0.5\text{mm}$)의 平板形과 TEM(transmission electron microscope) 디스크라 불리는 $\phi 3 \times 0.25\text{mm}$ 의 圓板形을 多軸拘束하는 方法을 採用하여 지그內 펀치 先端에 HRC 62-67의 硬度를 갖는 $\phi 2.4\text{mm}$ 의 鋼球를 通하여 試驗片에 荷重을 加하는 소위 深絞縮(bulging)試驗으로, 주로 金屬材料의 破壞非性에 關聯하는 工學量을 決定하는데 目的을 둔 것이다.

SP試驗時 負荷速度는 $0.1 \sim 1.0\text{mm/min}$ 를 基準으로 하고 있으며, 荷重과 變位는 自動 記錄된다. 本研究에서는 負荷速度 0.2mm/min , 試驗 測溫範圍 $-196 \sim -50^\circ\text{C}$ 로 하였다.

Fig. 3은 SP試驗에서 얻어지는 典型的인 荷重·變位曲線 즉, 材料의 變形特性 및 破壞舉動을 나타낸 것이다.

이 荷重·變位曲線에서 材料의 變形特性은 試驗片의 變形 段階에 따라 定性的으로 I: 弹性굽힘領域(elastic bending region), II: 塑性굽힘領域(plastic bending region), III: 塑性膜伸張領域(plastic membrane stretching region), IV: 塑性不安定領域(plastic instability region)의 4段階로

Table 1 Chemical composition.(wt %)

Material	Symbol	C	Si	Mn	P	S	Cr	Mo
11/4Cr-1/2Mo	1PK1	0.15	0.70	0.55	0.030	0.030	1.25	0.45
21/4Cr-1Mo	2PK1	0.15	0.55	0.45	0.028	0.030	2.30	1.07
	2PK2	0.15	0.50	0.55	0.032	0.032	2.10	0.98
	2PK3	0.14	0.45	0.50	0.027	0.025	2.15	1.01
	2PK4	0.15	0.49	0.48	0.028	0.020	2.18	1.03

Table 2 Mechanical properties.(R.T)

Symbol	Tensile strength(MPa)	Yield strength(MPa)
1PK1	588	294
2PK1	420	205
2PK2	430	220
2PK3	424	212
2PK4	422	209

Table 3 Serviced condition.

Symbol	Service year[Y]	Temperature[°C]	Location of specimen
1PK1	14	510	Secondary S/H
2PK2	5	566	Pendent S/H
2PK2	6.6	566	Secondary S/H
2PK3	3.3	538	Secondary S/H
2PK4	5.6	538	Secondary S/H

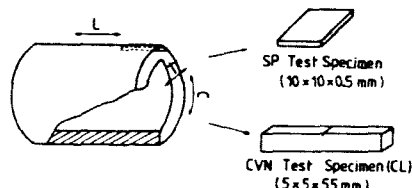


Fig. 1 Extraction procedure of specimen

區分되고, 破壞挙動 또한 定性的으로 I 과 II 領域에서 脆性破壞(brittle fracture), III 領域에서 延・脆性遷移破壞(ductile-brittle transition fracture), IV 領域에서 延性破壞(ductile fracture)의 3段階로 區分되어진다.

이러한 荷重-變位曲線으로 부터는 破壞非性에 關係되는 두 種類의 工學量을 評價 할 수 있다. 그 하나는 荷重-變位曲線 아래의 面積 즉, 變形 및 破壞에 消費되는 에너지(以下 SP에너지라 부른다)를 求하여 이들의 溫度依存曲線을 作成하고, 이로 부터 SP延・脆性遷移溫度(ductile-brittle transition temperature : DBTT)_{SP}를 測定하는 것이고, 다른 하나는 最大變位 (δ^*)로 부터 破壞等價 變形率 (ϵ_{eq})를 算出하고 이로 부터 彈塑性破壞非性值 (J_{IC})_{SP}를 測定하는 것이다.

本 研究에서는 前者인 SP 에너지의 溫度依存曲線으로 부터 SP 延・脆性 遷移溫度(DBTT)_{SP}를 求하여, 從來의 非性評價 方法인 Charpy 衝擊試驗

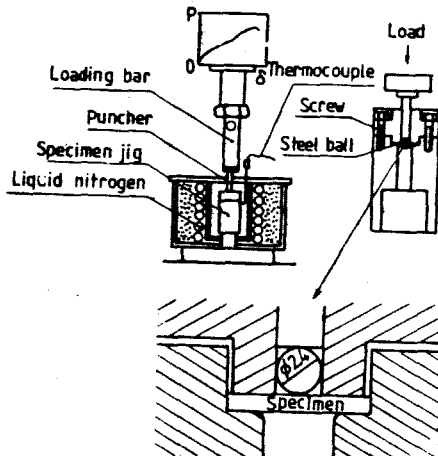
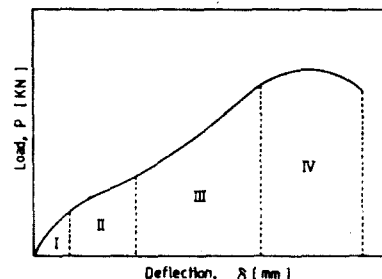


Fig. 2 Schematic illustration of small punch test apparatus, jigs and loading system



Deformation Characteristics	Fracture Behavior
I Elastic	Brittle
II Plastic	Brittle
III Plastic Membrane Stretching	Ductile-Brittle Transition
IV Plastic Instability	Ductile

Fig. 3 Schematic illustration of the deformation characteristics and fracture behavior in load versus deflection curves obtained from SP tests

으로 부터 얻어진 遷移溫度(FATT)_{CVN}과의 關係를 觀察, 그 相關關係를 充明한다.

3. 實驗結果 및 考察

3.1 管 表面部位의 劣化度 評價

Fig. 4는 한 例로서 試驗材料중의 하나인 2PK1에 對한 SP 試驗線圖로, -196~75°C 範圍의 試驗溫度에서 얻어진 荷重-變位曲線의 指動을 나타낸 것이다. 이 그림에서 低溫에서는 荷重, 變位가 작은 狀態 즉, 低 에너지에서 破壞되나, 溫度가 上昇

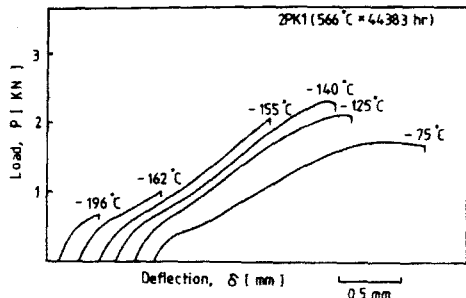


Fig. 4 Load versus deflection curves obtained from SP tests for 2PK1 at various test temperatures

함에 따라 破壞에 要求되는 에너지가 增加되고 있음을 알 수 있다. 이러한 現象은 試驗溫度의 上昇에 따른 降伏強度의 減少로 材料의 流動特性이 變化하는 것에 起因된다고 생각된다⁽¹¹⁾.

또한, -140°C 以上의 比較的 높은 試驗溫度에서의 荷重-變位曲線의 行動은 Fig. 3에서 區分한 4領域을 모두 包含한 材料流動特性을 나타내고 있어서, 最大荷重에 到達한 後 微小 크랙이 發生하여 成長해감에 따라 荷重이 漸次로 減少하다塑性不安定領域에서 破壞가 일어나는 延性破壞行動을 보이고 있음을 알 수 있다. 그러나, 試驗溫度가 -162°C 및 -196°C 의 低溫側에서는 Fig. 3의塑性屈曲領域 또는 彈性屈曲領域에 該當하는 變形行動을 보이고 있으며, 作用荷重은 最大荷重에서 急減하고 있어 微小 크랙이 成長되는 即時 試驗片 두께를 貫通하는 脆性破壞 行動을 보이고 있음을 알 수 있다. 이러한 試驗溫度에 따른 荷重-變位曲線의 行動變化는 이들 曲線의 最大荷重까지의 面積으로 定義되는 SP에너지의 溫度依存性, 즉 溫度變化에 따른 破壞行動의 變化를 期待할 수 있다.

Fig. 5는 위의 2PK1에 對한 이들 SP에너지와 試驗溫度와의 關係를 整理한 것으로 SP에너지 是試驗溫度의 變化에 따라 顯著한 溫度依存性을 갖고 있음을 確認할 수 있어, CVN吸收에너지와 같은 破壞特性值의 意味를 갖는다고 생각할 수 있다.

또한, Fig. 5에서 SP試驗溫度變化에 따른 材料流動特性의 變化와 破壞行動을 觀察하기 위하여 各試驗溫度에서 微視的破面과 巨視的破面樣相을 함께 圖示하고 考察하였다.

Fig. 5의 巨視的破面樣相에서, -196°C 의 低溫에서는 크랙이 試驗片의 半球頂點에서 發生하여 半徑方向으로 傳播하는 脆性的破壞를 하고 있음

에 대하여, -155°C 및 -140°C 의 試驗溫度에서는 試驗溫度가 增加함에 따라 크랙은 半球頂點에서 멀리 떨어진 塑性流動部, 即 試驗片 두께가 顯著한 減少를 보이고 있는 位置에서 發生하여 圓周方向으로 成長하는 延性的破壞를 보이고 있음을 알 수 있다. 또한, 이들 破面을 좀더 소상하게 觀察하기 위해서 同一 試驗片에 대하여 走査電子顯微鏡(SEM)에 의한 微視破面 觀察을 行하였다. 이를 보면 SP 에너지의 溫度依存曲線의 下棚域(lower shelf value)에 該當하는 -196°C 의 低溫側에서의 破面은 典型的인 脫開破面을 보이고 있으며, 上棚域(upper shelf value)에 該當하는 -140°C 의 高溫側에서의 破面은 延性破面을 보이고 있다. 또, 그 中間인 -155°C 의 微視破面을 보면 延性破面과 脫開破面이 混在하고 있어서, 破面의 延·脆性遷移運動은 材料의 變形運動이 塑性膜伸張領域에 該當하는 -162°C ~ -150°C 의 溫度範圍에서 나타날 것이 推定된다.

따라서, 이러한 SEM 觀察을 通해서 延·脆性遷移溫度(DBTT_{SP})는 SP에너지의 溫度依存曲線에서 SP에너지의 上棚域과 下棚域의 平均에너지에 該當하는 溫度로 定義하는 試驗法⁽⁷⁾의 妥當性을 確認하였다.

그러므로 SP試驗에서도 CVN試驗에서와 마찬가지로 延·脆性遷移溫度(DBTT_{SP})의 高溫側으로의 移動量(ΔDBTT_{SP})로 劣化度를 評價할 수 있음을 알았다.

한편, 劣化度測定에서 SP試驗法의 有效性을 檢討하기 위하여 從來 劣化度評價에 利用되어 왔던 CVN衝擊試驗을 行하고 이들의 破壞韌性을 評價한 後 두 試驗方法에 의한 破壞特性值 사이의 相關關係를 比較 檢討하였다.

CVN衝擊試驗에서의 材質劣化程度는, 從來의 方式에 따라 破面의 50%가 延性破面를 보이는 破面遷移溫度(fracture appearance transition temperature: FATT)의 高溫側으로의 移動量(ΔFATT)을 求하고 評價하였다.

Fig. 6, 7은 各材料에 對한 CVN衝擊吸收에너지의 溫度依存曲線(各 그림의 右側)과, SP에너지의 溫度依存曲線(各 그림의 左側)을 整理한 例이다. 그림에서 白點은 劣化材, 黑點은 脫脆化材를 나타낸다. 여기에서 劣化材의 CVN 및 SP에너지의 溫度依存曲線은 脫脆化材에 比해 高溫側에 位置하고 있고 使用時間의 增加에 따라 移動量의 幅이

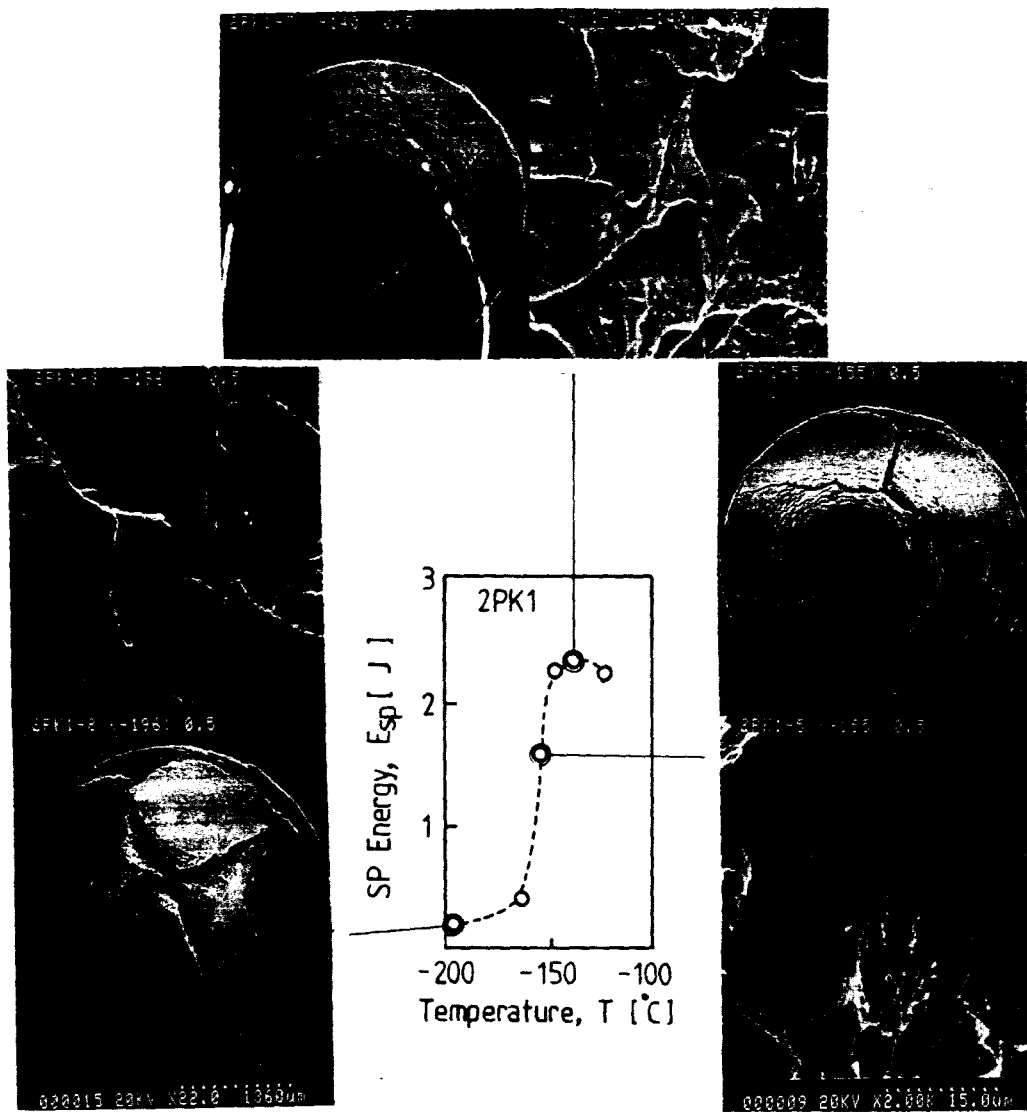


Fig. 5 Transition behavior of SP energy and fracture appearance as a function of test temperatures for 2PK1

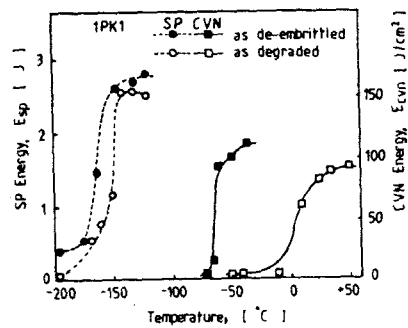


Fig. 6 SP, CVN energy at various temperatures for 1PK1(at 510°C for 121,973 hrs)

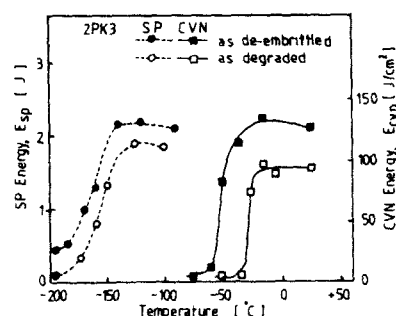


Fig. 7 SP, CVN energy at various temperatures for 2PK3(at 538°C for 31,538 hrs)

Table 4 Results of CVN and SP test

Symbol	CVN Test			SP Test		
	FATT [°C]		△FATT [°C]	DBTT [°C]		△DBTT [°C]
	as degraded	as de-embrittled		as degraded	as de-embrittled	
1PK1	10	-58	68	-149	-164	15
2PK1	-20	-50	30	-158	-164	6
2PK2	-10	-50	40	-154	-162	8
2PK3	-28	-53	25	-155	-160	5
2PK4	-56	-84	34	-155	-162	7

커지고 있음을 알 수 있다. 따라서材質劣化는 使用時間에 크게依存하고 있음을 알 수 있다.

이들曲線에서 앞에서記述한方法으로各材料의破壞特性值인破面遷移溫度(FATT)_{cvn} 및 延·脆性遷移溫度(DBTT)_{sp}를 구하여Table 4에整理하였다.

Fig. 8은各材料에서求한新材料와使用材의遷移溫度의差, ($\Delta FATT$)_{cvn}과 ($\Delta DBTT$)_{sp}의關係를整理하여본것이다. 두試驗方法에의하여얻어진延·脆性遷移溫度差의關係는 ($\Delta FATT$)_{cvn}이增加하면 ($\Delta DBTT$)_{sp}의값도增加하여하나의直線으로表示되고있으며, 이를數式化하면다음式으로表現할수있다.

$$(\Delta FATT)_{cvn} = 4.3(\Delta DBTT)_{sp} + 3.5 [^{\circ}\text{C}]$$

以上의試驗結果에서Cr-Mo鋼에對한SP試驗과CVN衝擊試驗에있어서그들두破壞特性值사이의定量的關係가얻어짐으로써SP試驗에서의延·脆性遷移溫度의高溫側으로의移動量($\Delta DBTT$)_{sp}으로부터 $\Delta FATT$ 를推定할수있음을알수있다. 여기서, CVN衝擊試驗과SP試驗에의하여얻어진延·脆性遷移溫度의關係에서기울기가1이아닌理由는SP試驗에서破壞의遷移가

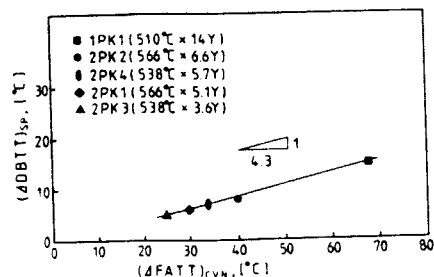


Fig. 8 Correlation between the ($\Delta DBTT$)_{sp} and ($\Delta FATT$)_{cvn}

材料의流動特性중塑性膜伸張領域에서發生하기때문이다. 이SP試驗特有의塑性膜伸張域(領域)에서는膜伸張의增加에따라鋼球와試驗片과의接觸面積이急증하므로膜應力を一定值以上으로維持하기위해서는他領域에比하여急激한荷重의增加가要求되며 때문이다. (Fig. 3参照)

그러나Fig. 6, 7에서보는것과같이CVN衝擊試驗에比하여SP試驗은좁은溫度範圍에서延·脆性遷移舉動이일어남을알수있어서, SP試驗法은좁은溫度範圍에서正確하게遷移溫度를決定할수있는長點을갖고있다고볼수있다.

3.2 管 두께方向의劣化度評價

以上의觀察에서이SP試驗法으로材質의經年劣化程度를測定評價할수있음이밝혀졌으므로,이SP試驗法을實機에使用된蒸氣管에適用,管表面으로부터두개方向으로의材質劣化程度의變

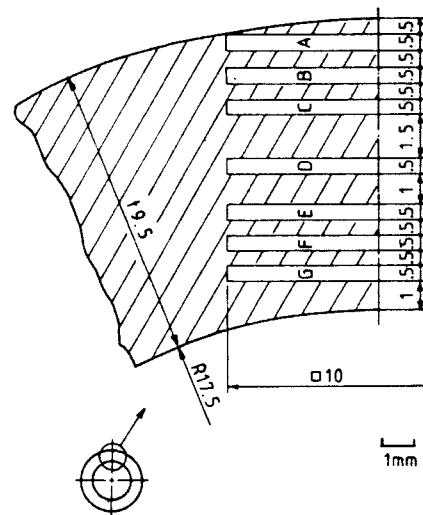


Fig. 9 Extraction of SP specimens from 2PK1

化를 살펴 보았다.

Fig. 9는 SP試驗片의採取位置를表示하고 있다.

이때, 試驗溫度는 Table 4에서 알 수 있드시 脫脆化材의 $(DBTT)_{SP}$ 가 모두 $-160\sim-165^{\circ}\text{C}$ 範圍에 있기 때문에, 新材의 邊移溫度를 -165°C 로 推定하고 이 溫度에서 SP 試驗을 行하였다. 그 結果 SP 에너지의 크기는 試驗片 採取 部位 즉, 管 斷面의 位置에 따라 다르게 나타남을 알았다. 한 例로 2 PK1에 對한 荷重-變位曲線의 變化를 나타내면 Fig. 10과 같다. 그림에서 破壞荷重과 變位 즉, SP 에너지는 內·外側 表面部에서 작고 中央部에서 크게 나타나고 있음을 알 수 있다.

이러한 SP에너지의 變化舉動을 試驗片 採取 位置를 管 두께에 對한 比로 無次元化하여 그 位置에서의 SP 에너지의 變化를 整理한 것이 Fig. 11이다. 여기에서 劣化材(그림의 黑點)는 두께비(t_i/t_0) 0.3까지는 SP에너지의 値이 增加하고 0.3~0.75範圍에서는 一定한 値을 維持하여, 0.75 以上에서 다시 減少하고 있어서, 管 內側과 管外側이 管의 中央部位에 比하여 더 劣化되어 있음을 알 수 있다. 그러나, 脫脆化材(그림의 白點)는 全 두께에 걸쳐 SP에너지가 均一함을 알 수 있으며, 脆化材의 中央部位의 SP에너지와 거의 一致함을 알 수 있다. 따라서 管 두께部位에 따라 劣化進行 程度에 差異가 있음을 알 수 있었다. 또한 劣化材의 微視破面 觀察에서 볼 수 있는 것과 같이 同一試驗 溫度에서 脊開破面의 量이 內·外側이 中央部位보다 많음을 알 수 있을 뿐만 아니라 粒內 및 粒界的 炭化物 및 介在物의 析出 韻動도 內·外側이 顯著함을 알 수 있다. 이러한 原因은 파이프 外側은 內側에 比하여 相對的으로 溫度가 높고 燃燒gas에 의한 高溫腐蝕과 灰分의 附着·脫落 等에 의한 局部的인 熱疲勞 現象 等에 의해, 內側은 罐石 等의 吸着에 의한 局部的인 熱疲勞 및 過熱 等에 의해 管斷面 位置에 따라 劣化 進行程度에 差異가 생기는 것으로 추정된다^(12,13).

Fig. 12는 이들 각試驗材에對한試驗結果를整理한 것으로, 脫脆化材는 모두 SP에너지가 全두께에 걸쳐 均一하나($E_{SP} = 1.9 \sim 2.2$), 劣化材는 管두께部位에 따른 全體의 SP에너지의 變化舉動은前述한 Fig. 11과 거의 類似하나若干의 差異를 보이고 있다. 그림에서 管外側으로부터 中部部位의 均一한 SP에너지에 到達하는 두께比(t_1/t_0)는

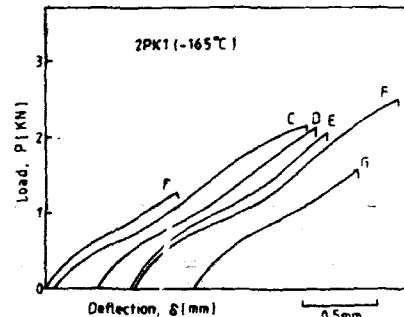


Fig. 10 Load versus deflection curves obtained from SP tests for steam tubes at different locations across thickness (test temperature -163°C)

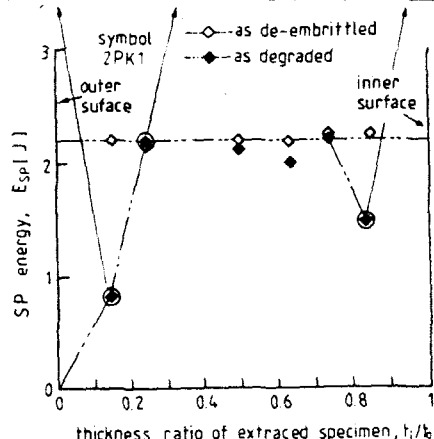
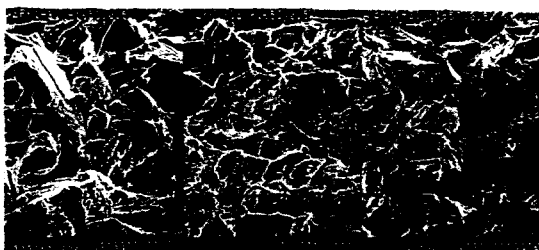


Fig. 11 Variation of SP energy and fracture appearance according to the thickness ratio of the location of the extracted specimen at -165°C

1KP1, 2PK2, 2PK4, 2PK3, 2PK1의順序로減少하고 있으며, 이部分에서 SP에너지의增加率도 1PK1, 2PK2, 2PK4, 2PK3, 2PK1의順序로增加하고 있어使用時間의減少와 함께 SP에너지의增加率이增加하고 있음을 알 수 있다. 또한中央部位의均一한 SP에너지의크기는 2PK1, 2PK3, 1PK1, 2PK2, 2PK4의順序로減少하고 있어管의

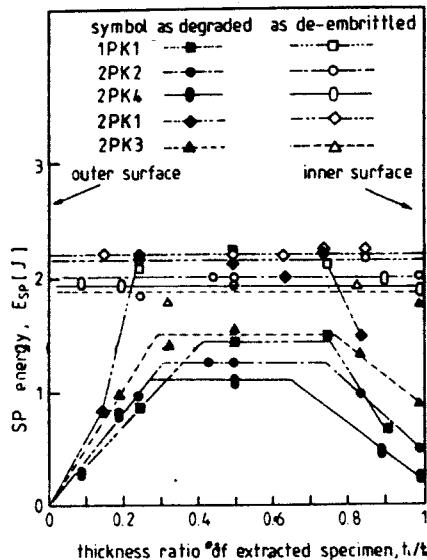


Fig. 12 Variation of SP energy according to the thickness ratio of the extracted specimen at -165°C

材質劣化는 使用時間 뿐만 아니라 管의 두께에도 影響을 받아 管두께가 얕을 수록 全體의劣化程度가 큼을 알 수 있다.

한편 高溫設備의 經年劣化 評價技術의 開發은 非破壊的인 方法이 摸索되고 있으며, 一般的으로 設備의 外表面을 測定 對象으로 하고 있다. 本研究에서도 延·脆性遷移溫度(DBTT)_{SP}를 구하기 위한 試驗片의 採取領域이 外表面에서 0.5~1mm 程度이어서, 여기서 測定된 劣化의 程度로 管 全體의健全性을 評價하는 것이 얼마나正確한 것인가 하는 것은 問題로 남겨져 있다.

이들의 結果를 綜合적으로 考慮할 때, SP試驗法은 局部的으로 材質의 變化⁽¹⁴⁾가 나타나는 高溫構造部材의 經年劣化 評價法으로서 그 有用性을 뚜렷이 確認할 수 있었다. 또 使用時間의 增加와 함께 進行되는 材質劣化 程度에 따라 管 内·外側의健全한 部位의 減少가 高溫部材의 一般的인 크립破斷壽命 및 破壞韌性的 減少에 얼마나 寄與할 것인지는 明確하지 않으나, 이러한 劣化度의 分布를 알 수 있다는 것은 管의 殘餘壽命 評價時의 基準設定에 큰 도움이 될 것으로 期待된다.

4. 結論

運轉履歴이 다른 發電用 보일러 過熱器 및 再熱

器에서 채취한 Cr-Mo鋼 蒸氣管의 材質劣化 評價에 對한 SP試驗의 適用 可能性을 檢討한 研究에서 다음과 같은 結論을 얻었다.

(1) CVN 衝擊試驗 結果와 SP 試驗 結果 사이에 좋은 相關關係가 있어 SP 試驗으로 材質劣化度 (ΔFATT)_{CVN}의 評價가 可能하다.

(2) 管두께 方向의 材質劣化 程度는 管의 内·外側이 中央 部位 보다 더 劣化되고 있으며 管의 두께에도 影響을 받는다.

(3) 局部的인 領域에서의 劣化度 評價에 있어서 SP 試驗法은 特히 큰 應用性을 갖고 있다.

後記

本論文은 韓國科學財團의 研究費(891-0907-032-1)支援과 韓國準備研究所의 協助에 의해 이루어진 研究結果의 一部로 研究를 隨行할 수 있도록 支援하여 주신 財團과 研究所의 諸位에 感謝를 드리며, 또 物心兩面으로 助言과 協助를 아끼지 않으신 日本의 東北大學 工學部 高橋秀明 教授와 姫路工大의 野方文雄 教授에게 또한 感謝를 드리는 바이다.

参考文獻

- (1) 橋内食雄, 1981, “破壊力學の實際問題への應用”, 日本機械學會第516會講習會教材, 日本機械學會, p.81.
- (2) 大南正瑛, 遠藤忠良, 吉川州彦, 北川正樹, 新田明人, 1978, “火力發電プラントの餘壽命推定技術の世界的動向,” 日本機械學會誌, 第90卷, 第822號, pp.38~43.
- (3) 新谷紀雄, 1987, “高溫構造材料の餘壽命豫測記術開發,” 鐵と鋼, 第73卷, 第9號, pp.13~19.
- (4) 齊藤喜久, 1988, 過熱器ステンレス鋼管の分極法による經年劣化診斷と検出機構, 日本機械學會齊954回材料力學講演概要集, No.880-7, pp.1~2.
- (5) Viswanathan, R. and Brummer, S.M., 1985, “In-Service Degradation of Toughness Steam Turbine Rotor,” Trans of the ASTM, Vol.107, pp.316~314.
- (6) Metal Handbook, 1975, 9th Edition, Vol. 11, “Failure Analysis and Prevention,” ASM. Metals Park. Ohio, p.99.

- (7) JAERI-M. 88-172, 1988, "Recommended Practice for Small Punch (SP) Testing of Metallic Materials,"(Draft) JAERI.
- (8) Baik, J.M., Kameda, J. and Buck, O., 9186, "Developement of Small Punch Tests for Ductile-Brittle Transition Temeprature Measurerient of Temper Embrittled Ni-Cr Steels," ASTM STP 888, pp.92~111.
- (9) 盧友紹, 莊子哲雄, 高橋秀明, 1986, "クロム・モリブデン・バナジウム耐熱鋼(タビンロータ)の新経年劣化診断技術," 日本機械學會論文講演拔刷論文 No. 86-1075 A.
- (10) 野方文雄 外, 1987, "粒界腐蝕法によるプラント用高溫部材の経年劣化評價法について," 非破壊検査, 第36卷, 第8號, pp.535~539.
- (11) Hertzberg, R. W., 1976, "Deformation and Fracture Mechanics of Engineering Materials," New York, John Wiley & Sons, p.243.
- (12) 伊藤伍郎, 1982, "腐蝕と防蝕," 機械工學全書, Vol. 6, 東京部, コロナ社, pp.321~327.
- (13) Nogata, F., Takahashi, H. and Chung S.H. et al., "Evaluation of Toughness Degradation for In-Service High Temperature Structural compenents by a Chemical Etching Test," NDE-Vol. 5, ASME, pp.243~248.
- (14) 柳塙永, 1990, "小型펀치 試験法에 의한 鋼熔接部의 破壊靱性 評價에 관한 研究", 全北大學院博士學位論文.